

第六章 电磁感应

§ 6-1 电磁感应的基本规律

§ 6-2 动生电动势

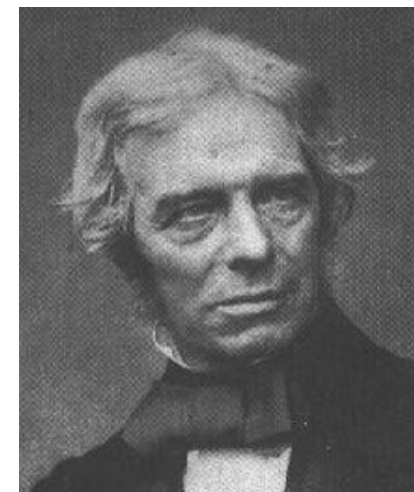
§ 6-3 感生电动势、涡旋电场

§ 6-4 自感与互感

§ 6-5 磁场的能量

电磁感应

1831年8月29日, Faraday
做了第一个电磁感应实验
并取得成功。



Michael Faraday
(1791-1867)

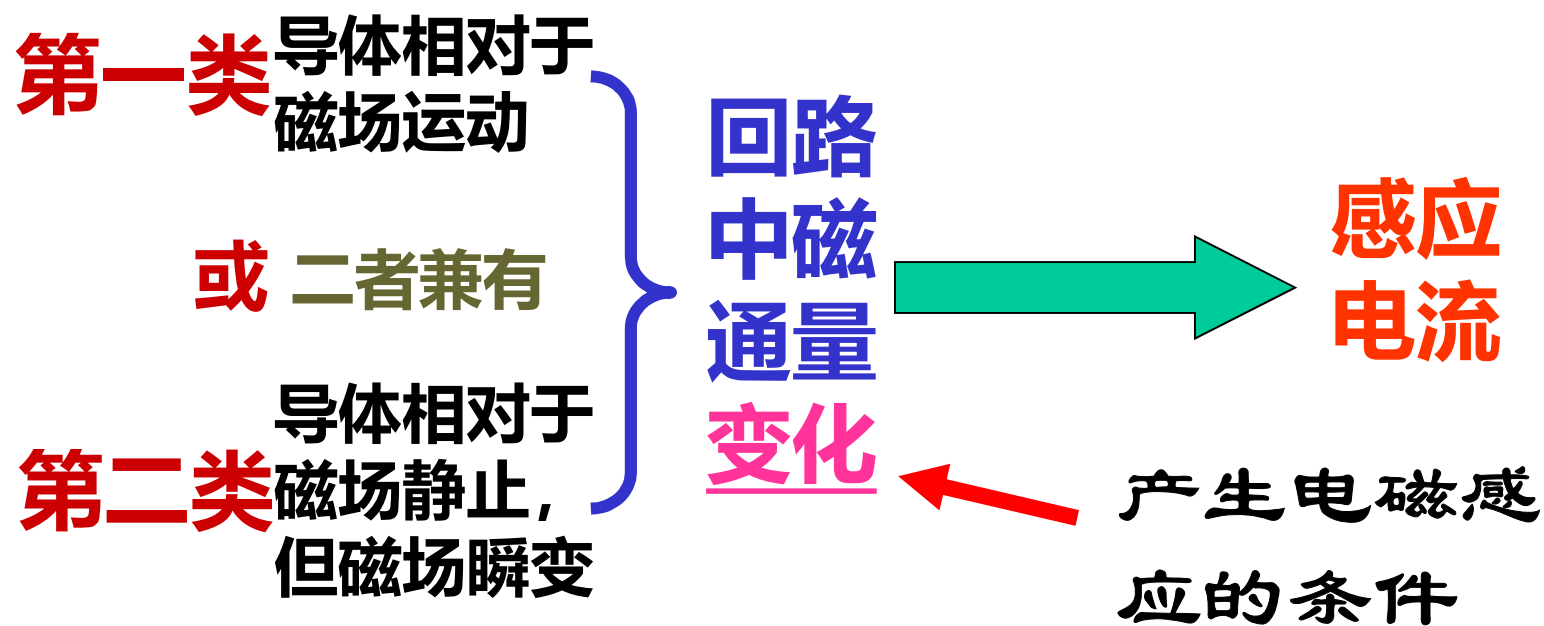
产生
电磁
感应
有五
类情
况:

- ①变化的电流;
- ②运动的稳恒电流;
- ③磁场中运动的导体;
- ④变化的磁场;
- ⑤运动的磁铁



§ 6-1 电磁感应的基本规律

一. 电磁感应现象



本质是**感应电动势** electromotive force (emf)

§ 6-1 电磁感应的基本规律

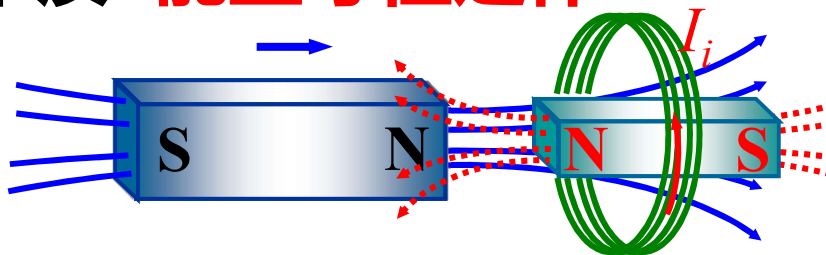
二. Lenz定律——定性 (俄, 1833)

感应电流总是企图产生一个磁场阻碍穿过线圈的磁通的变化.

即: 感应电流 $I_i \rightarrow \Phi_{mi}$
→ 反抗原 Φ_m 的变化.

“结果” 阻碍 “原因”

本质: 能量守恒定律



楞次, Э. X.

(1804-1865)



§ 6-1 电磁感应的基本规律

三. Faraday 定律 — 定量 (1851)

闭合导体回路内感应电动势:

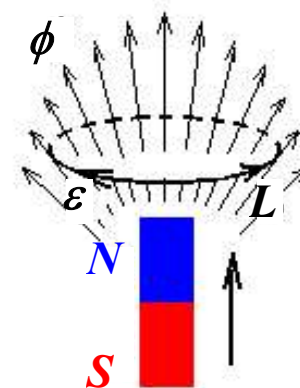
$$\varepsilon_i = - \frac{d\Phi_m}{dt}$$

SI: V

方向

ε_i 方向: 规定回路方向 \rightarrow 右旋定正法向 \vec{n}^0 ,
 \rightarrow 回路内 $\Phi_m \uparrow \uparrow \vec{n}^0$ 为正, $\uparrow \downarrow \vec{n}^0$ 为负,

$$\rightarrow \frac{d\Phi_m}{dt} \begin{cases} > 0 \Leftrightarrow \varepsilon_i < 0; \text{与回路方向相反} \\ < 0 \Leftrightarrow \varepsilon_i > 0; \text{与回路方向相同} \end{cases}$$



- 定方向用Lenz 定律简便
- 推论: 闭合回路通过的电量与 Φ_m 的变化快慢无关.

$$q = \int_{t_1}^{t_2} I_i dt = \int_{t_1}^{t_2} \frac{\varepsilon_i}{R} dt = - \int_{t_1}^{t_2} \frac{d\Phi_m}{R} = \frac{1}{R} (\Phi_{m1} - \Phi_{m2})$$



§ 6-1 电磁感应的基本规律

- 对 N 匝线圈, Φ_m 用**全磁通** Ψ_m 代替.

即: **各匝 Φ_{mi} 不同时**, $\psi_m = \sum_i \Phi_{mi}$

各匝 Φ_{mi} 相同时, $\psi_m = N\Phi_{mi}$ **← 磁链**

注意各圈法向协调! 正绕向 \rightarrow 各匝 $\vec{n}^0 \rightarrow \Phi_{mi} \rightarrow \Psi_m$

电磁感应的应用:

交流发电机, 直流发电机, 变压器,

导航系统, 加速度表, 机场金属探测器

磁卡, 磁头, 扬声器, 电子乐器



§ 6-1 电磁感应的基本规律

例: 如图, 已知 ∞ 长线有电流 I , 线圈的 l, a, d, R , 若

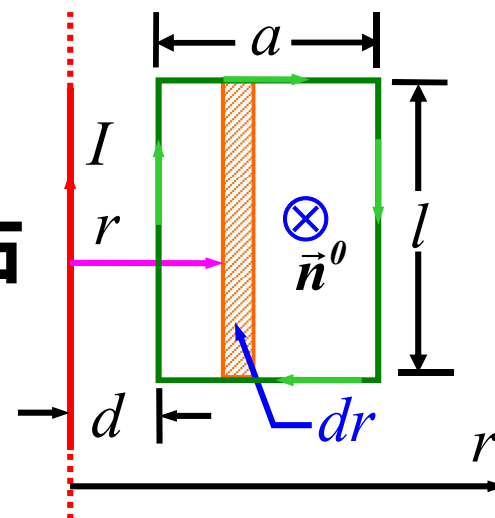
1. 稳恒 I , 线圈速度 v 向右

2. $I = \alpha t$ ($\alpha > 0$), 线圈不动

3. $I = \alpha t$ ($\alpha > 0$), 线圈速度 v 向右

求线圈内的 ε_i , 方向和感应电流 I_i .

解: 定 \vec{n}^0 , 求 Φ_m , 求 ε_i , 求 I_i



1. 稳恒 I : $I_\infty \Rightarrow B = \frac{\mu_0 I}{2\pi r}$; 方向: \otimes

取 \vec{n}^0 与 \vec{B} 同向 \Rightarrow 回路顺时针, 设 t 时线圈在 x , 取 ldr

$$\Phi_m = \int_S \vec{B} \cdot d\vec{S} = \int_x^{x+a} \frac{\mu_0 I}{2\pi r} l dr = \frac{\mu_0 I l}{2\pi} \ln \frac{x+a}{x}$$



§ 6-1 电磁感应的基本规律

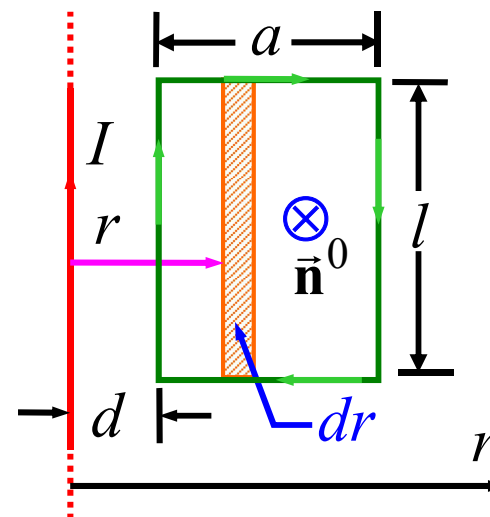
$$\Phi_m = \frac{\mu_0 I l}{2\pi} \ln \frac{x+a}{x}$$

注意 x 是 t 的函数,

$$\therefore \varepsilon_i = - \frac{d\Phi_m}{dx} \frac{dx}{dt} = \frac{\mu_0 I l a}{2\pi(x+a)x} v$$

在 $x = d$ 时刻: $\varepsilon_i = \frac{\mu_0 I l a}{2\pi(d+a)d} v > 0$

$$\Rightarrow I_i = \frac{\varepsilon_i}{R} = \frac{\mu_0 I l a v}{2\pi(d+a)dR}$$





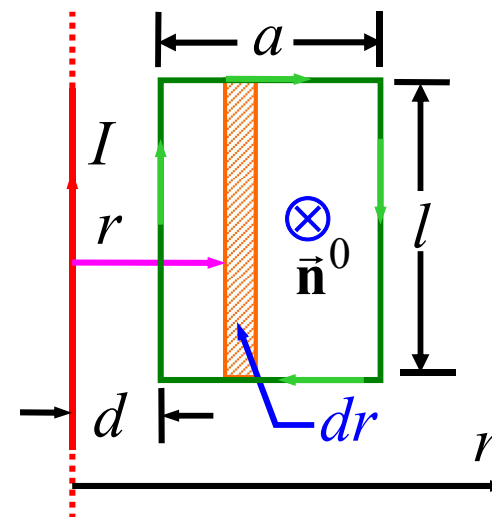
§ 6-1 电磁感应的基本规律

2. $I = \alpha t, v = 0$

由1.有 $\Phi_m|_{x=d} = \frac{\mu_0 \alpha t l}{2\pi} \ln \frac{d+a}{d}$

$$\mathcal{E}_i = -\frac{d\Phi_m}{dt} = -\frac{\mu_0 \alpha l}{2\pi} \ln \frac{d+a}{d} < 0$$

$$I_i = \frac{-\mu_0 \alpha l}{2\pi R} \ln \frac{d+a}{d}, \quad \text{沿} L \text{反向}$$



3. $I = \alpha t, v \neq 0$

$$\Phi_m(x) = \frac{\mu_0 \alpha t l}{2\pi} \ln \frac{x+a}{x}; \quad x = vt + d$$

$$\mathcal{E}_i|_{x=d} = -\frac{d\Phi_m}{dt}\bigg|_{x=d} = -\frac{\mu_0 \alpha l}{2\pi} \left[\ln \frac{d+a}{d} - \frac{tav}{(d+a)d} \right] = (1) + (2)$$



§ 6-1 电磁感应的基本规律

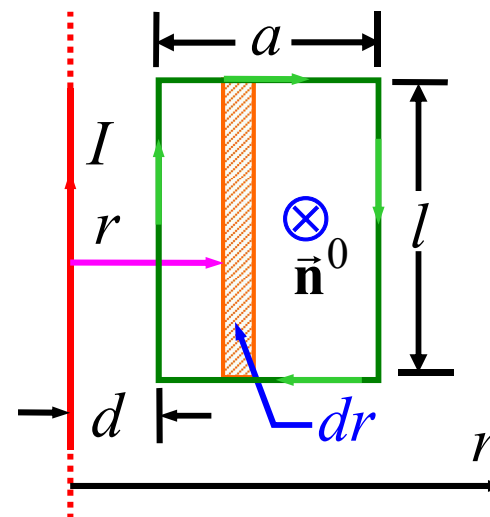
讨论:

• 1,2中 线圈内 Φ_m 均变, 但原因不同:

- 1. 中 \vec{B} 不变, 线圈动, 切割磁力线
- 2. 中 \vec{B} 变, 线圈不动, 不切割磁力线

⇒ 感应电动势分为:

- 动生电动势 ← 磁场恒定, 导体运动, Lorentz 力
- 感生电动势 ← 导体不动, 磁场瞬变, 感生电场



§ 6-2 动生电动势

一. 动生电动势产生的微观机理

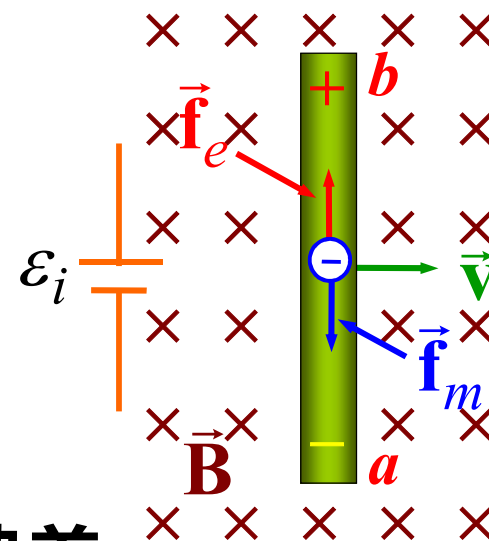
导体棒 ab 运动时, 电子受力:

洛伦兹力 $\vec{f}_m = -e(\vec{v} \times \vec{B})$

电场力 $\vec{f}_e = -e\vec{E}$

达到平衡时: 棒两端形成恒定电势差
棒 ab 就相当于一个电源

洛伦兹力: 产生动生电动势根本原因它
就是电源中的**非静电力**





§ 6-2 动生电动势

二. 动生电动势及其计算

1. 由定义: $\varepsilon = \int_+^- \vec{E}_k \cdot d\vec{l}$

$$\vec{E}_k = \frac{\vec{F}_K}{q} = \frac{-\vec{f}_m}{-e} = -\vec{v} \times \vec{B}$$

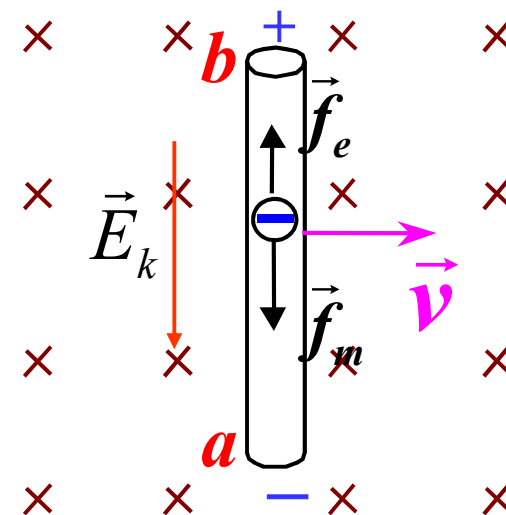
动生电动势:

$$\varepsilon_i = \int_a^b (\vec{v} \times \vec{B}) \cdot d\vec{l}$$

若 ab 导体为闭合回路

动生电动势: $\varepsilon_i = \oint_{ab} (\vec{v} \times \vec{B}) \cdot d\vec{l}$

(导体在磁场中运动产生动生电动势的普遍公式)





§ 6-2 动生电动势

注: (1) 图中 $U_a < U_b$, 电动势正向: 从负极 $a \rightarrow$ 正极 b ;

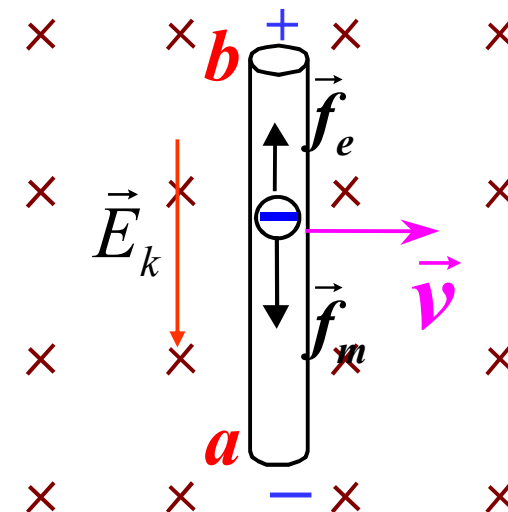
(2) 积分是沿着运动导线进行的。

(3) 动生电动势方向的判定(两种方法)

(a) 楞次定律;

(b) 利用 $\vec{v} \times \vec{B}$ 的方向。

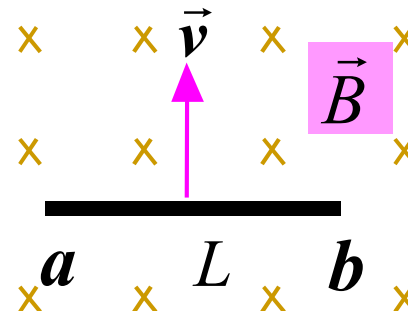
$$\mathcal{E}_i = \int_a^b (\vec{v} \times \vec{B}) \cdot d\vec{l}$$



特例: 若满足: 匀强磁场、直导线、导线各处运动速度 v 相同, 且 \vec{v} , \vec{B} 和 $d\vec{l}$ 三者互相垂直, 则:

$$\mathcal{E}_i = \int_L B v dl = BLv$$

右图 \mathcal{E}_i 方向: $b \rightarrow a$



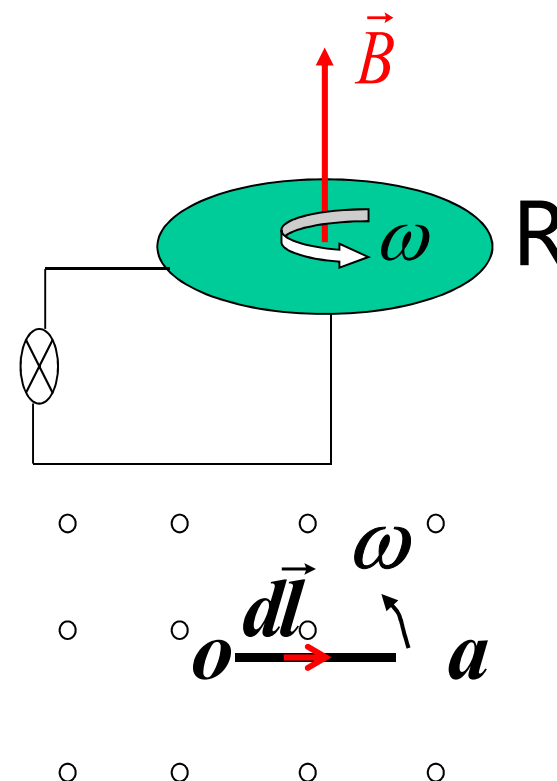


§ 6-2 动生电动势

例 法拉第圆盘发电机

$$\begin{aligned}\varepsilon &= \int_0^a (\vec{v} \times \vec{B}) \cdot d\vec{l} = \int_0^R l \omega B dl \\ &= \frac{1}{2} R^2 \omega B \quad o \rightarrow a\end{aligned}$$

并联 $\varepsilon = \frac{1}{2} R^2 \omega B$



思考：能否用法拉第电磁感应定律求解？

可以！
自己完成

交流发电机
三峡水电站



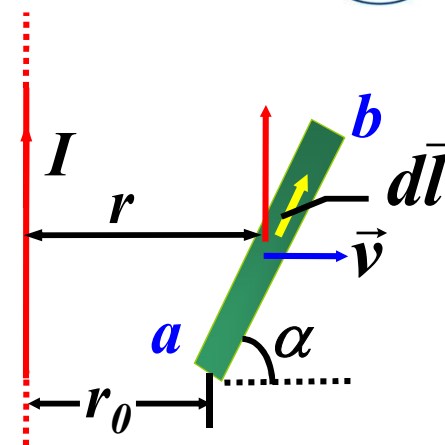
§ 6-2 动生电动势

例：如图，细直金属线长 L ，已知： α ， \vec{v}

求 a 端距导线 r_0 时的 \mathcal{E}_i

解： $B = \mu_0 I / 2\pi r$ ，方向： \otimes

$$\begin{aligned}\mathcal{E}_{i,ab} &= \int_a^b (\vec{v} \times \vec{B}) \cdot d\vec{l} = \int_a^b \frac{\mu_0 I v}{2\pi r} \sin \alpha dl \\ &= \frac{\mu_0 I v}{2\pi} \sin \alpha \int_0^L \frac{dl}{r_0 + l \cos \alpha} = \frac{\mu_0 I v}{2\pi} \operatorname{tg} \alpha \ln \frac{r_0 + L \cos \alpha}{r_0}\end{aligned}$$



$$\alpha = 0, \mathcal{E}_i = 0; \quad \alpha < \pi/2, U_b > U_a$$

$$\alpha = \pi/2, \mathcal{E}_{iab} = \lim_{\alpha \rightarrow \pi/2} \frac{\mu_0 I v}{2\pi} \operatorname{tg} \alpha \ln \frac{r_0 + L \cos \alpha}{r_0} = BvL$$

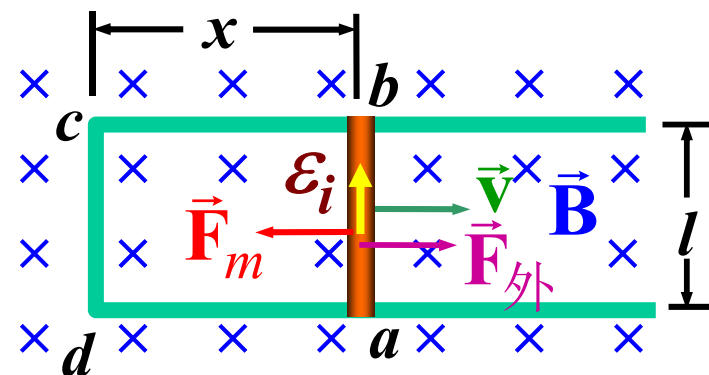


§ 6-2 动生电动势

三. 电磁感应中的功和能

从能量角度考虑右图系统:

1. ab 匀速向右 $\Rightarrow \mathcal{E}_i \Rightarrow abcd$ 回路
电流 $I_i \Rightarrow$ 做功 \Rightarrow 能量从哪来?



解释:

- I_i (单位时间内) 做功:

$$P_i = I_i \mathcal{E}_i = I_i v B l$$

- ab 因 I_i 受安培力向左: $F_m = I_i B l$
- 为保持匀速, 需外力 $\vec{F}_{\text{外}} = -\vec{F}_m$, 向右
- $P_{\text{外}} = \vec{F}_{\text{外}} \cdot \vec{v} = I_i B l v = P_i$ (机 \rightarrow 电)

§ 6-2 动生电动势

2. **动生**: L-力 $\Rightarrow \varepsilon_i \Rightarrow abcd$ 回路电流 $I_i \Rightarrow$ 做功,

但L-力应恒不作功, 怎样解释?

解释: 如图, $-e$ 受力 $\vec{f} = -e\vec{v} \times \vec{B}$, 向下

\Rightarrow 向下速度分量 \vec{v}'

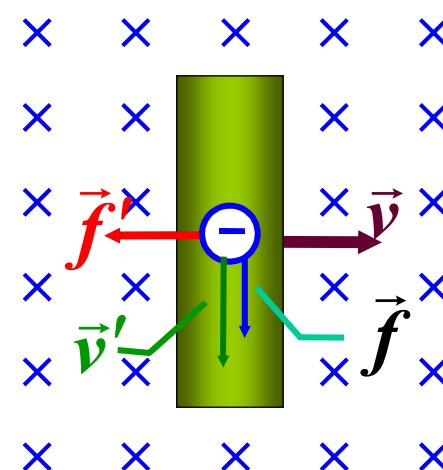
\Rightarrow L-力 $\vec{f}' = -e\vec{v}' \times \vec{B}$, 向左.

L-合力 $(\vec{f} + \vec{f}')$ 与 $-e$ 的合速度 $(\vec{v} + \vec{v}')$

\Leftrightarrow 做功功率:

$$P_{\text{总}} = (\vec{f} + \vec{f}') \cdot (\vec{v} + \vec{v}') = \vec{f} \cdot \vec{v}' + \vec{f}' \cdot \vec{v} = -evBv' + ev'Bv = 0$$

即: 总的Lorentz力确实不作功!



§ 6-2 动生电动势

3. Lorentz力到底起什么作用?

为使 $-e$ 向右匀速运动,
需外力 $\vec{f}_{\text{外}}$ (向右)抵消 \vec{f}' :

$$\vec{f}_{\text{外}} = -\vec{f}'$$

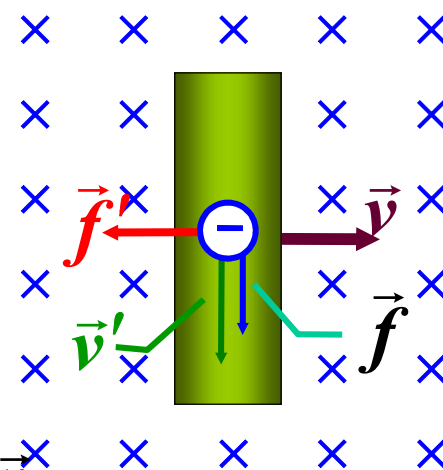
代入 $\vec{f} \cdot \vec{v}' + \vec{f}' \cdot \vec{v} = 0$, 得:

$$\underbrace{\vec{f} \cdot \vec{v}'} = -\underbrace{\vec{f}' \cdot \vec{v}} = \vec{f}_{\text{外}} \cdot \vec{v}$$

微观: L-力的分量使 $-e$ 沿导线运动所作的功 = 外力反抗L-力的另一分量 \vec{f}' 所作的功

宏观: 感应电动势所作的功 = 外力拉导线所作功

\Rightarrow L-力转换能量, 接受外力 \vec{f}' 的功, \vec{f} 对电荷做功





§ 6-3 感生电动势 涡旋电场

导体不动,无Lorentz力, 如何解释?

1861, Maxwell:

产生 ε_i 需要非静电力

静止电荷只受电场力作用

⇒这时的非静电力应是一种电场力.

⇒变化磁场会产生一种非静电场

⇒ 没有导体时, 该电场也应存在

Maxwell假设:

不论有无导体 (回路), 变化磁场都会在其周围产生具有闭合电场线的电场— 涡旋电场 $\vec{E}_{\text{旋}}$





§ 6-3 感生电动势 涡旋电场

如何定量描述？

对于导体回路, 由电动势的普遍定义可得:

$$\varepsilon_i = \oint_L \vec{E}_{\text{旋}} \cdot d\vec{l}$$

即感生电动势等于涡旋电场强度的环流。

由Faraday定律 $\varepsilon_i = -\frac{d\Phi_m}{dt}$

$$\Rightarrow \oint_L \vec{E}_{\text{旋}} \cdot d\vec{l} = -\frac{d\Phi_m}{dt} \neq 0$$

即 $\vec{E}_{\text{旋}}$ 是有旋电场 (curl electric field)

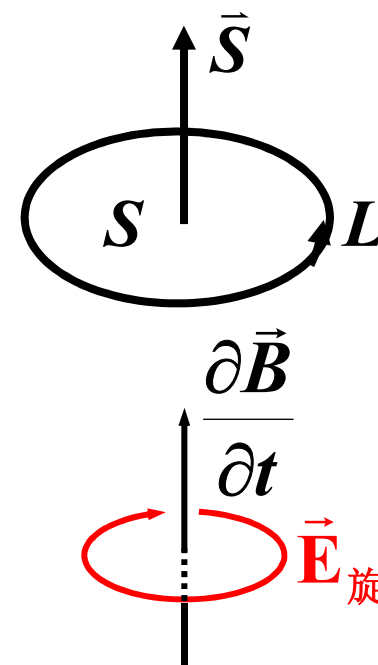
代入 $\Phi_m = \int_S \vec{B} \cdot d\vec{S}$ 得:



§ 6-3 感生电动势 涡旋电场

$$\oint_L \vec{E}_{\text{旋}} \cdot d\vec{l} = -\frac{d}{dt} \int_S \vec{B} \cdot d\vec{S} = -\int_S \frac{\partial \vec{B}}{\partial t} \cdot d\vec{S}$$

- $\vec{E}_{\text{旋}}$ 完全是磁场随 t 变化的结果, \vec{B} 变 \Leftrightarrow 有旋
- $\vec{E}_{\text{旋}}$ 的存在与有无导体无关
- $d\vec{S}$ 的正方向与 L 成右手螺旋关系
- 负号 \Rightarrow 与 $\vec{E}_{\text{旋}}$ 成左手螺旋
- 涡旋电场无源 \Rightarrow 其电场线是闭合的



$$\oint_S \vec{E}_{\text{旋}} \cdot d\vec{S} = 0$$



§ 6-3 感生电动势 涡旋电场

比较:

	静电场	涡旋电场
场的起源	电荷	时变磁场
环流	$\oint_L \vec{E}_{\text{静}} \cdot d\vec{l} = 0$	$\oint_L \vec{E}_{\text{旋}} \cdot d\vec{l} = - \int_S \frac{\partial \vec{B}}{\partial t} \cdot d\vec{S}$
通量	$\oint_S \vec{E}_{\text{静}} \cdot d\vec{S} = \frac{1}{\epsilon_0} \sum q$	$\oint_S \vec{E}_{\text{旋}} \cdot d\vec{S} = 0$

一般情况下, $\vec{E} = \vec{E}_{\text{静}} + \vec{E}_{\text{感}}$



§ 6-3 感生电动势 涡旋电场

感生电动势的计算:

方法之一: 根据电磁感应定律

$$\varepsilon_i = -\frac{d\phi_m}{dt} = -\frac{d}{dt} \int_s \vec{B} \cdot d\vec{S}$$

先求穿过回路的磁通，再求磁通的时间变化率，进而求回路中的感生电动势。

方法之二: 根据定义

$$\varepsilon_i = \oint_l \vec{E}_{\text{旋}} \cdot d\vec{l}$$

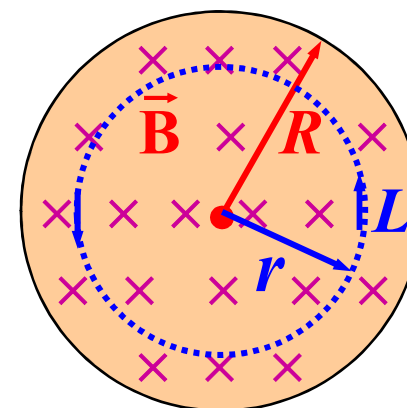
$$\varepsilon_{ab} = \int_a^b \vec{E}_{\text{旋}} \cdot d\vec{l}$$



§ 6-3 感生电动势 涡旋电场

例: 如图, 无限长直圆柱区域(R)内, $\vec{B} = \vec{B}(t)$, 均匀分布, 求 $\vec{E}_{\text{旋}}$ 分布.

解: 基本公式 $\oint_L \vec{E}_{\text{旋}} \cdot d\vec{l} = - \int_S \frac{\partial \vec{B}}{\partial t} \cdot d\vec{S}$



轴对称 \Rightarrow 同 r 各点 $\vec{E}_{\text{旋}}$ 大小相等

闭合 $\Rightarrow \vec{E}_{\text{旋}}$ 方向沿切向

$r \leq R$: 选 L , 走向如图, 则 L 所围 S 的法向从纸内向外,

$$\vec{B} = -B(t)\vec{n}^0 \Rightarrow E_{\text{旋}} \cdot 2\pi r = \frac{\partial B}{\partial t} \pi r^2$$

$$\therefore E_{\text{旋}} = \frac{r}{2} \frac{\partial B}{\partial t} ; \text{方向: } \frac{\partial B}{\partial t} \begin{cases} > 0, \vec{E}_{\text{旋}} \text{ 与 } L \text{ 同向} \\ < 0, \vec{E}_{\text{旋}} \text{ 与 } L \text{ 反向} \end{cases} \quad (\text{左旋})$$

§ 6-3 感生电动势 涡旋电场

例: 如图, 无限长直圆柱区域(R)内, $\vec{B} = \vec{B}(t)$, 均匀分布, 求 $\vec{E}_{\text{旋}}$ 分布.

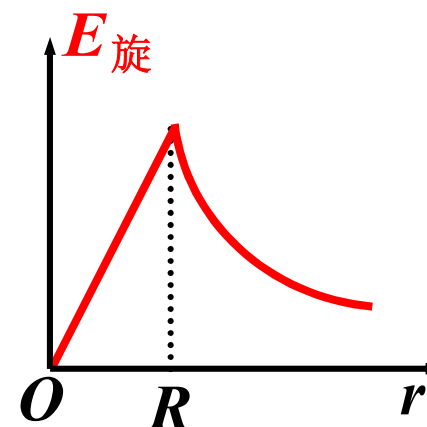
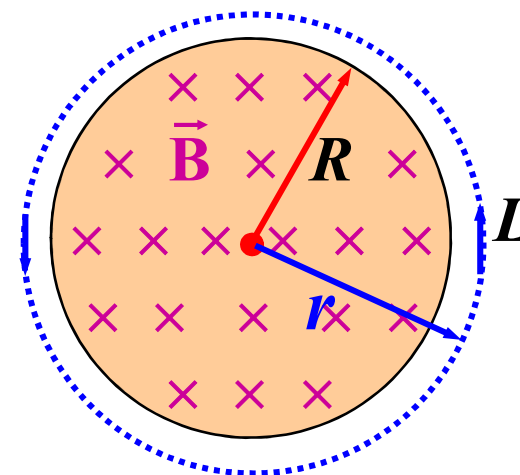
$r \geq R$: $\vec{B} = 0$, 但 $\vec{E}_{\text{旋}} \neq 0$

选 L 同上, 但 $r \geq R$

$$\Rightarrow E_{\text{旋}} \cdot 2\pi r = \frac{\partial B}{\partial t} \pi R^2$$

$$\therefore E_{\text{旋}} = \frac{R^2}{2r} \frac{\partial B}{\partial t} ; \text{方向同前}$$

• 涡旋电场随 r 的变化:

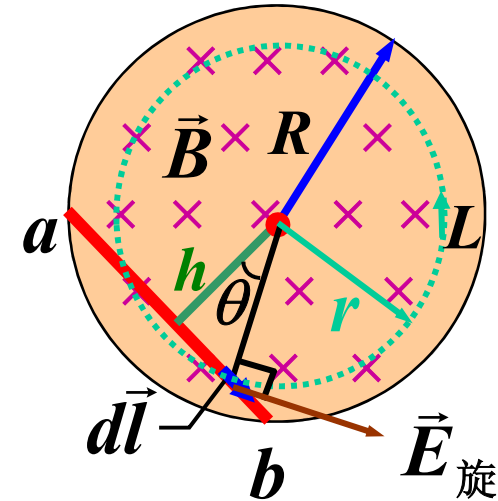


§ 6-3 感生电动势 涡旋电场

例：同上，如图放入导体杆， $\overline{ab} = l$
与轴的垂直距离为 h ，且

$$B = B_0 + \alpha t (\alpha > 0), \text{ 求 } \varepsilon_{iab}$$

解： $E_{\text{旋}} = \frac{r}{2} \frac{\partial B}{\partial t}$ ($r \leq R$), 方向： \odot

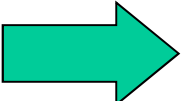


由电动势定义得：

$$\begin{aligned} \varepsilon_{iab} &= \int_{(a)}^{(b)} \vec{E}_{\text{旋}} \cdot d\vec{l} = \int_{(a)}^{(b)} \frac{r}{2} \frac{\partial B}{\partial t} \cos \theta dl \\ &= \frac{1}{2} \frac{\partial B}{\partial t} \int_0^l \frac{h}{\cos \theta} \cos \theta dl = \frac{\alpha}{2} hl > 0 \end{aligned}$$



§ 6-3 感生电动势 涡旋电场

回路中磁通 φ 变  感应电动势

基本
规律

$$\varepsilon = -\frac{d\Phi_m}{dt} = -\frac{d}{dt} \int_s \vec{B} \cdot d\vec{S} = -\int_s \frac{\partial \vec{B}}{\partial t} \cdot d\vec{S} - \int_s \vec{B} \cdot \frac{\partial \vec{S}}{\partial t}$$

感生

动生

机理：涡旋电场 $\vec{E}_{\text{旋}}$

$$\varepsilon_i = \oint_L \vec{E}_{\text{旋}} \cdot d\vec{l} = -\iint_s \frac{\partial \vec{B}}{\partial t} \cdot d\vec{S}$$

or

$$\varepsilon_{ab} = \int_a^b \vec{E}_{\text{旋}} \cdot d\vec{l} \quad \text{一段导体}$$

机理：洛伦兹力

$$\varepsilon_i = \oint_{ab} (\vec{v} \times \vec{B}) \cdot d\vec{l}$$

$$\varepsilon_i = \int_a^b (\vec{v} \times \vec{B}) \cdot d\vec{l}$$



§ 6-3 感生电动势 涡旋电场

电磁感应的应用：

电子感应加速器：

涡电流：大块导体在**磁场中运动**或处于**变化磁场中**时，其内部产生**涡旋状感应电流**——**涡流**。(很多应用)

有
利
有
弊

电磁阻尼

感应加热

金属熔炼、焊接、表面淬火
等高效节能无污染。

耗能；过热→事故

电气列车的电磁制动：

磁记录：一种现代信息技术，利用铁磁材料(**磁带、磁盘或磁鼓**)的特性和**电磁感应**的规律等。



§ 6-4 自感与互感

一. 自感

$$\Phi_m \text{变} \rightarrow \varepsilon_i \rightarrow I_i \rightarrow \Phi'_m$$

回路中电流变化时，其全磁通随之变化，在回路自身激起感应电动势 —— **自感电动势**。

物理意义(定性):

导体回路

自感电动势 \Rightarrow 自感电流

\Rightarrow 磁场, 反抗原有 Φ_m 的变化

\Rightarrow 反抗电流变化, 企图使其保持不变

\Rightarrow 自感电动势也称为**反电动势**。



§ 6-4 自感与互感

自感系数:

设电流为 I , 则回路中的 $\Phi_m \propto I$, 若无铁磁质引入**自感系数** L , 有 $\Phi_m = LI$

SI: 亨(利), $H = \text{Wb/A}$, 常用mH, μH .

L 在数值上等于线圈**通有单位电流强度时, 通过线圈自身的全磁通的大小**。

- I 是产生 Φ_m 的电流.
- 简单回路里常可略, 匝数较多或有铁磁质时显著.
- 以后讨论限于回路形状不变且无铁磁质的情况, (否则 L 不是常量).



§ 6-4 自感与互感

自感电动势:

由Faraday定律, 有

$$\varepsilon_L = -\frac{d\Phi_m}{dt} = -\frac{d(LI)}{dt} = -\left(L\frac{dI}{dt} + I\frac{dL}{dt}\right)$$

回路形状不变, μ_r 不变时:

$$\varepsilon_L = -L\frac{dI}{dt} \quad \text{或:} \quad L = -\frac{\varepsilon_L}{dI/dt}$$

L = 单位电流变化率时的自感电动势.

- L 与回路/线圈的结构(形状、介质等)有关, 有铁磁质时还和电流 I 及其变化率有关,
- 对 N 匝线圈, $\Psi = N\Phi_m$, L 为单匝时的 N 倍.



§ 6-4 自感与互感

自感现象(定量):

K接a时, $\varepsilon - L \frac{dI}{dt} = IR$

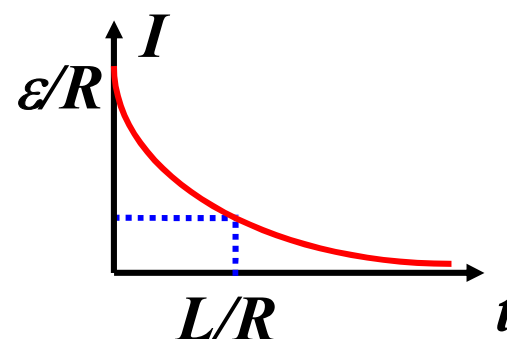
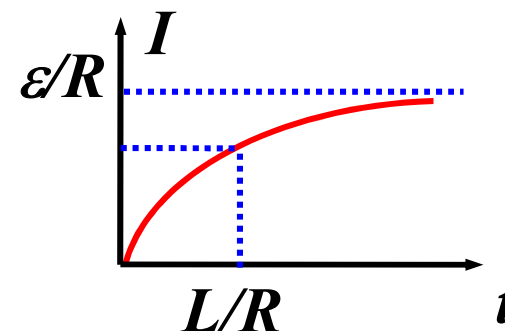
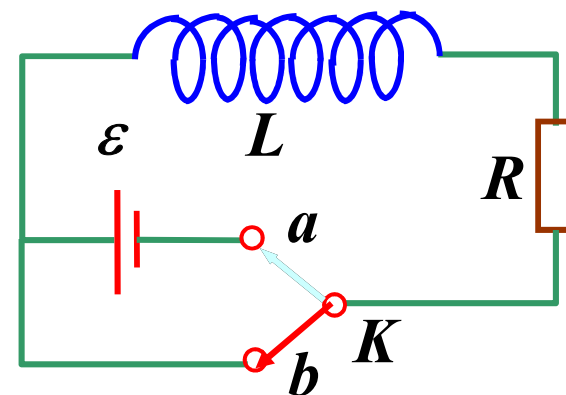
分离变量求解: $I = \frac{\varepsilon}{R} (1 - e^{-Rt/L})$

弛豫时间: $t = L/R$

这时 $I = \frac{\varepsilon}{R} (1 - e^{-1}) \approx 0.63 I_{\max}$

K接b时, $-L \frac{dI}{dt} = IR$

解得 $I = \frac{\varepsilon}{R} e^{-Rt/L}$





§ 6-4 自感与互感

- 自感现象的应用:

镇流器, 扼流圈等。

不利: 大电流的电路拉闸时要小心。

自感一般由实验测定, 对简单情况也可以计算。

- 计算思路: 设 $I \rightarrow B \rightarrow \psi \rightarrow L$



§ 6-4 自感与互感

例：如图，密绕长直螺线管，已知 R, N, l ，求 L 。

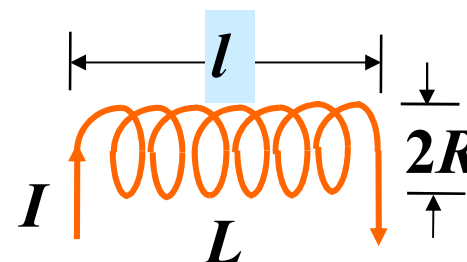
解：设通过电流 I

$$\Rightarrow B = \mu_0 n I = \mu_0 N I / l$$

$$\Rightarrow \Psi = N \Phi_m = \mu_0 N^2 I \pi R^2 / l$$

$$I \text{ 变} \Rightarrow \varepsilon_{\text{总}} = - \frac{d\Psi}{dt} = - \frac{\mu_0 \pi R^2 N^2}{l} \frac{dI}{dt}$$

$$\therefore L = - \frac{\varepsilon_{\text{总}}}{dI/dt} = \frac{\mu_0 \pi R^2 N^2}{l} = \mu_0 n^2 V$$



- 加入磁芯后, $L' = \mu_r L$, 对铁磁质, μ_r 与 I 有关.
- 对螺绕环有相同结果.
- $l = 30\text{cm}, N = 1000, S = 2\text{cm}^2 \Rightarrow L = 0.84\text{mH}$.



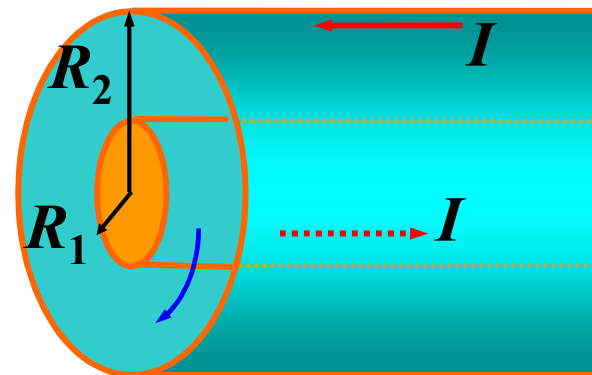
§ 6-4 自感与互感

例：同轴电缆，已知 R_1, R_2, μ ，内外表面电流 I ，求单位长度的 L 。

解：由安培环路定理有

$$r < R_1 \text{ 或 } r > R_2 : \quad B = 0$$

$$R_1 < r < R_2 : \quad B = \frac{\mu I}{2\pi r}; \text{方向如图}$$



§ 6-4 自感与互感

例:同轴电缆由半径分别为 R_1 和 R_2 的两个无限长同轴导体柱面组成

求:无限长同轴电缆单位长度上的自感

解:由安培环路定理可知

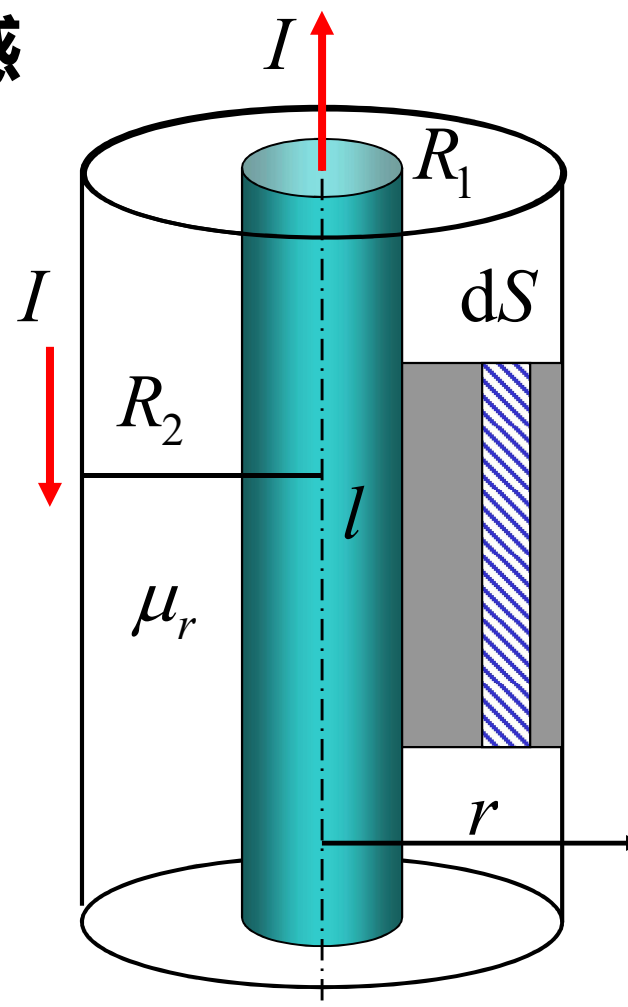
$$R_1 < r < R_2 \quad B = \frac{\mu_0 \mu_r I}{2\pi r}$$

$$r < R_1, r > R_2 \quad B = 0$$

$$d\Phi = B dS = \frac{\mu_0 \mu_r I}{2\pi r} l dr$$

$$\Phi = \int_{R_1}^{R_2} \frac{\mu_0 \mu_r I}{2\pi r} l dr = \frac{\mu_0 \mu_r I l}{2\pi} \ln \frac{R_2}{R_1}$$

$$L = \frac{\Phi}{Il} = \frac{\mu_0 \mu_r}{2\pi} \ln \frac{R_2}{R_1}$$



§ 6-4 自感与互感

例 设一载流回路由两根平行的长直导线组成。

求 这一对导线单位长度的自感 L

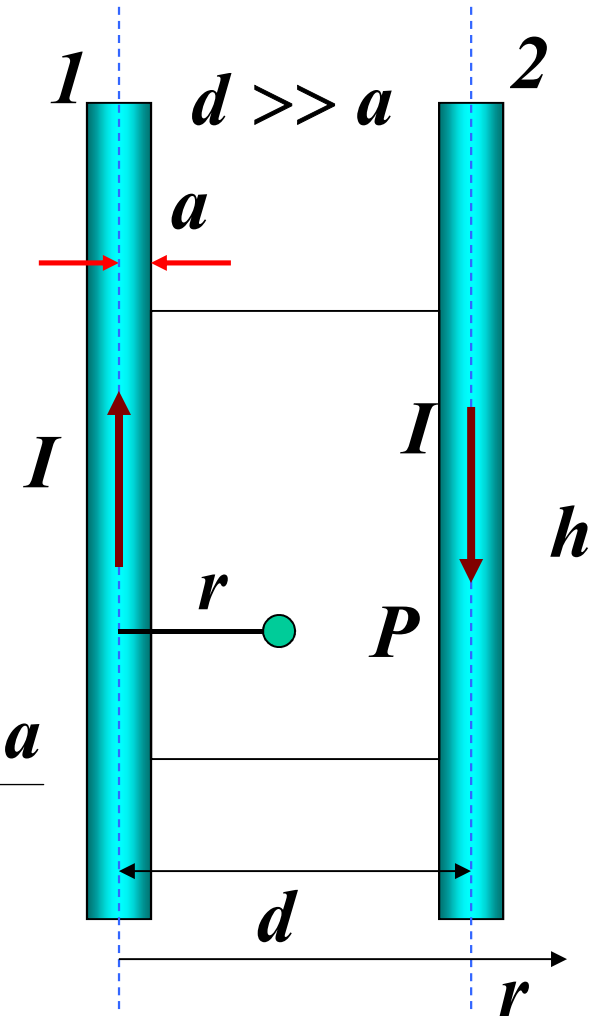
解 由题意，设电流回路 I

$$B_P = \frac{\mu_0 I}{2\pi r} + \frac{\mu_0 I}{2\pi(d-r)}$$

取一段长为 h 的导线 $\Phi = \int_a^{d-a} \vec{B} \cdot d\vec{S}$

$$\Phi = \int_a^{d-a} \left[\frac{\mu_0 I}{2\pi r} + \frac{\mu_0 I}{2\pi(d-r)} \right] h dr$$

$$= \frac{\mu_0 I h}{\pi} \ln \frac{d-a}{a} \rightarrow L = \frac{\Phi}{I h} = \frac{\mu_0}{\pi} \ln \frac{d-a}{a}$$





§ 6-4 自感与互感

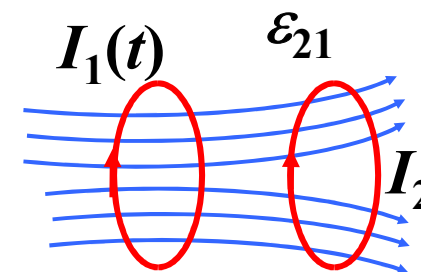
二. 互感

两相邻回路, 其中一个电流变化 $\Rightarrow \vec{B}$ 变 $\Rightarrow \Phi_m$ 变
 \Rightarrow 在另一回路中产生 ε_i —— **互感**现象.

设两回路的**形状, 位置和 μ 均不变**, 则 I_1 引起的磁场在回路2中的磁通 Φ_{21} 与 I_1 成正比:

$$\Phi_{21} = M_{21} I_1$$

$$\Rightarrow \varepsilon_{21} = - \frac{d\Phi_{21}}{dt} = -M_{21} \frac{dI_1}{dt}$$



定义**互感系数**:
(简称**互感**)

$$M_{21} = - \varepsilon_{21} / \frac{dI_1}{dt}$$

SI: 亨利(H)

M_{21} — 线圈**1**对线圈**2**的互感系数



§ 6-4 自感与互感

- M_{21} 与线圈结构的**大小、形状、匝数、相对位置**和周围**磁介质分布**有关, 有铁磁质时还和 I_1 有关.

同理

$$\Phi_{12} = M_{12}I_2 \Rightarrow \mathcal{E}_{12} = -\frac{d\Phi_{12}}{dt} = -M_{12}\frac{dI_2}{dt}$$

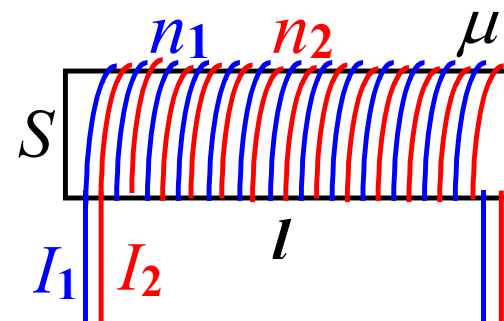
或: $M_{12} = -\mathcal{E}_{12} / \frac{dI_2}{dt}$

- 可证, $M_{12}=M_{21}=M$ (自学)
- 若回路有 N 匝, $\Phi \rightarrow \Psi = N\Phi_i$, $M_{\text{总}} = NM_i$
- 计算思路: **选定一个线圈, 设 $I \rightarrow B \rightarrow \Psi \rightarrow M$**



§ 6-4 自感与互感

例：长直管上(体积 V)有两个密绕线圈，匝数密度为 n_1, n_2 。管内部充满磁介质(μ)。求互感系数 M 。



解：设 I_1 有 $B_1 = \mu n_1 I_1$

$$\Rightarrow \psi_{21} = N_2 \phi_{21} = N_2 B_1 S = N_2 \mu n_1 I_1 S$$

$$= N_2 \mu n_1 I_1 S \text{ (} l/D \text{)} = n_2 \mu n_1 I_1 S l$$

$$= \mu n_1 n_2 I_1 V$$

$$\Rightarrow M = \psi_{21} / I_1 = \mu n_1 n_2 V \quad (\text{与} i_1 \text{ 无关}).$$



§ 6-4 自感与互感

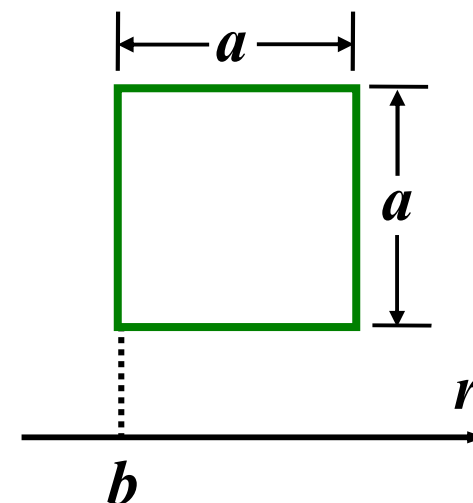
例：如图，已知 I, a, b ，求 M

解： $B = \frac{\mu I}{2\pi r}$ ；方向： \otimes

$$\Phi_m = \int_S \vec{B} \cdot d\vec{S} = \int_b^{a+b} \frac{\mu I}{2\pi r} a dr$$

$$= \frac{\mu I a}{2\pi} \ln \frac{a+b}{b}$$

$$\therefore M = \frac{\mu a}{2\pi} \ln \frac{a+b}{b}$$



- 原则上可设口中通 I 认为长直导线在 ∞ 处形成回路，但这样难以计算.

§ 6-5 磁场能量

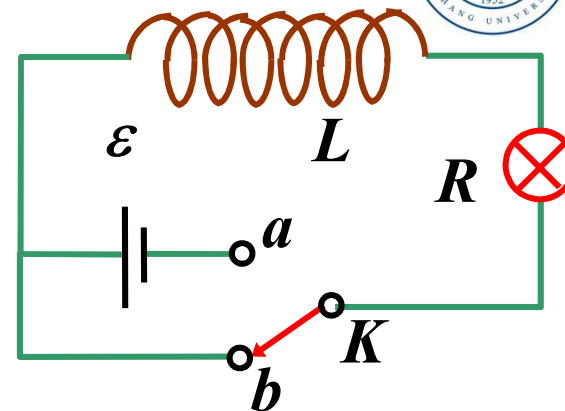


一. 自感能

实验：如图， K 由 a 接 b 时，

灯反而瞬间亮，然后渐暗，为什么？

线圈中能储藏能量！（或：自感电动势作了功）



已知 I, L ，如何求 W_L ？

$K = a$ 时， $i = 0 \rightarrow i = \frac{\varepsilon}{R}$

物理：电源供能 \rightarrow 反抗感应电动势做功 + 焦耳热

这时有 $\varepsilon - L \frac{di}{dt} = iR$



§ 6-5 磁场能量

$$\varepsilon - L \frac{di}{dt} = iR$$

同乘以 i , 从 $t = 0$ 到 $t = \tau$ 积分:

$$\int_0^\tau i \varepsilon dt = \int_0^\tau i L \frac{di}{dt} dt + \int_0^\tau i^2 R dt$$

其中右边第一项对应**磁场能**:

$$W_L = \int_0^I i L di = \frac{1}{2} L I^2 > 0$$

可证, 当 K 从 $a \rightarrow b$ 时, 放出的能量正是该能量

$K = b$ 时, 设 dt 内通过灯泡的电流为 i , 则 dt 内自感电动势作的功为



§ 6-5 磁场能量

$$dA = \varepsilon(i \cdot dt) = -L \frac{di}{dt} (i \cdot dt) = -Li \cdot di$$

$$A = \int dA = \int_I^0 -Li \cdot di = \frac{1}{2} LI^2$$

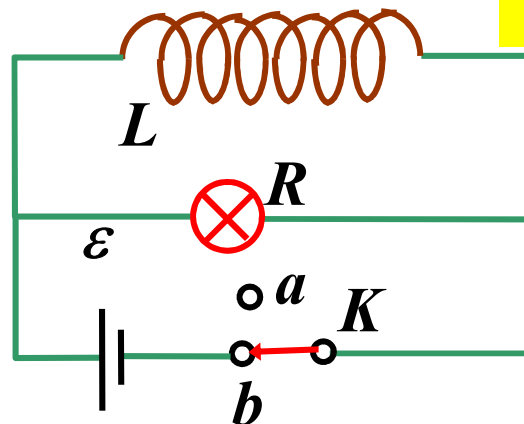
正是自感线圈的磁能: $W_L = \frac{1}{2} LI^2$ 称为自感能

对一般情况均适用.

若知道自感能, 也可用于求自感系数:

$$L = \frac{2W_L}{I^2}$$

练习: 试分析右图.

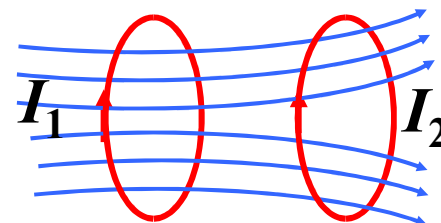




§ 6-5 磁场能量

二. 互感能

特例如图, 建立 I_1, I_2 时, 除反抗自感电动势做功(自感能)外, 还要反抗互感电动势做功(互感能).



由上节例2, $L = L_1 + L_2 \pm 2M$

⇒ 系统贮存总磁能为: $W = \frac{1}{2}LI^2 = \frac{1}{2}(L_1 + L_2 \pm 2M)I^2$

⇒ 由于互感导致的附加能(互感能)为 $\pm MI^2$.

一般情况: I_1, I_2 不等, 规定同向时 $M > 0$, 反向时 $M < 0$.

系统总磁能: $W = \frac{1}{2}L_1I_1^2 + \frac{1}{2}L_2I_2^2 + \overset{\text{互感能}}{MI_1I_2}$



§ 6-5 磁场能量

- **自感能**是载流线圈的固有磁能, **恒为正**.
- **互感能**是载流线圈间的相互作用能, **可正可负**.
- 可证, **总磁能恒为正**.

三. 磁能密度

特例: 长密绕螺线管, 长 l , 截面积 S , 总匝数 N , 由前例有

$$L = \mu n^2 V$$

若通电流 I , 则 $W_m = \frac{1}{2} L I^2 = \frac{1}{2} \mu n^2 V I^2 = \frac{B^2}{2\mu} V$ ($B = \mu n I$)

∴ 可引入**磁能密度**: $w_m = \frac{B^2}{2\mu} = \frac{1}{2} BH$



§ 6-5 磁场能量

或用矢量表示,为: $w_m = \frac{1}{2} \vec{B} \cdot \vec{H}$

此公式虽由长直密绕螺线管特例导出,但却普遍适用

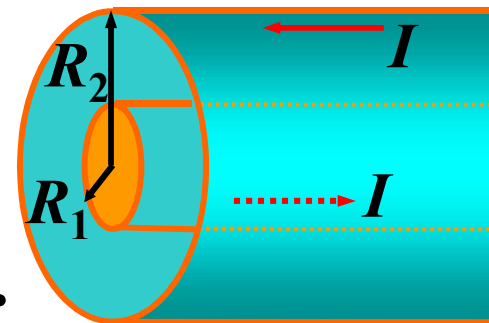
若已知 w_m , 可求总磁能:

$$W_m = \int w_m dV = \frac{1}{2} \int_V \vec{B} \cdot \vec{H} dV$$

- 积分对整个磁场空间进行.
- 除含**铁磁质**的情况外, 普遍成立.

§ 6-5 磁场能量

例: 同轴电缆, 已知 R_1, R_2, μ , 内外表面电流 I , 求单位长度的磁能.



解: $R_1 < r < R_2$ 时, $B = \frac{\mu I}{2\pi r}$; 其余为零.

$$W_m = \frac{1}{2} \int_V B H dV = \frac{\mu I^2 l}{4\pi} \ln \frac{R_2}{R_1} = \int_{R_1}^{R_2} \frac{\mu I^2}{8\pi^2 r^2} 2\pi r l dr$$

单位长度的磁能: $W_0 = \frac{\mu I^2}{4\pi} \ln \frac{R_2}{R_1}$

再由 $W_m = \frac{1}{2} L I^2$ 可得单位长度的自感为:

$$L = \frac{2W_m}{I^2} = \frac{\mu}{2\pi} \ln \frac{R_2}{R_1}$$

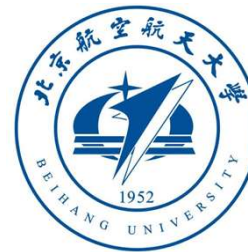


课后作业

课后习题：

6.1, 6.2, 6.3, 6.4, 6.5, 6.6, 6.7, 6.9, 6.10
6.12, 6.13

截止日期： 2025-06-17 24:00



谢谢!